

# بررسی پرتو جذبی UV-Vis لایه‌های نانوساختار رنگ تهیه شده TiO<sub>2</sub> با استفاده از رنگدانه‌های سیانیدین توتسیاه به روش سل-ژل

علی‌رضا رازقی‌زاده\*

تهران، دانشگاه پیام نور، دانشکده علوم، گروه فیزیک

## الهام الهمی

اهواز، دانشگاه پیام نور استان خوزستان، دانشکده علوم، گروه فیزیک

## وحدت رفیعی

تهران، دانشگاه پیام نور، دانشکده علوم، گروه فیزیک

**چکیده:** در این پژوهش اثر حساس‌سازی لایه‌های نانوساختار  $TiO_2$  با استفاده از رنگدانه‌های سیانیدین موجود در توتسیاه به روش سل-ژل بررسی شده است. برای این منظور ابتدا لایه‌های نانوساختار  $TiO_2$  برروی زیرلايه شیشه به روش لاپهنانی غوطه‌وری سل-ژل تهیه شده و سپس با استفاده از رنگدانه‌های سیانیدین موجود در توتسیاه حساس‌سازی شدند. ساختار بلوری و فازی این لایه‌ها و ریخت شناسی سطحی آن‌ها، با استفاده از دستگاه‌های XRD و FE-SEM مورد بررسی قرار گرفت. هدف این پژوهش بررسی اثر متقابل بین نیمرسانا و رنگ بود، نتیجه‌های به دست آمده از پرتو IR تأیید کننده پیوندهای  $TiO_2$  در زیرژل تیتانیوم دی‌اکسید-سیانیدین می‌باشد، که حضور رنگ در ساختار را تأیید می‌کند. همچنین با توجه به پرتو جذبی UV-Vis دیده می‌شود که بیشینه جذب در لایه‌های حساس شده با سیانیدین به طول موج ۵۹۵ nm افزایش یافته است، که تأیید کننده برهم‌کنش بین نیم رسانا و رنگ می‌باشد.

**واژه‌های کلیدی:** نانوساختار؛  $TiO_2$ ؛ لایه‌نانانی غوطه‌وری؛ سل-ژل، سیانیدین، منگنز.

**KEYWORDS:** Nanostructured;  $TiO_2$ ; Dip-coating; Sol-gel; Cyanidin; Manganese.

## مقدمه

تیتانیوم دی‌اکسید، ماده‌ای بی‌ضرر و ایمن برای انسان و محیط زیست می‌باشد، این ماده به‌واسطه داشتن یک شکاف نوار انرژی به‌اندازه ۳/۲۵V (در فاز آناتاز)، پایداری شیمیابی چشمگیری با تعداد زیادی از حللا در بازه‌ی گسترده‌ای از pH تراگسیلنگی و ضربی شکست بالا، دارای اهمیت صنعتی بسیاری می‌باشد [۱-۳]. این ماده یک ماده ممتاز برای کاربردهای فوتوشیمیابی

+E-mail: razeghizadeh@yahoo.com

\*عهده‌دار مکاتبات

به سطح نیمه‌رسانا برای جذب بخش بیشتری از نور خورشید استفاده می‌شوند. عملکرد لایه‌های نانوساختار حساس شده با رنگ، در اساس وابسته به رنگ مورد استفاده به عنوان حساس کننده نوری می‌باشد. برخی مولکول‌های رنگی مهم شامل یک اتم فلز Ru و یک ساختار آلی می‌باشند [۱۸، ۱۹]، که همان‌گونه که پیش‌تر گفته شد، توسط گرتزل و همکاران مورد استفاده قرار گرفت. این حساس کننده نوری هرچند تأمین کننده ویژگی‌های مورد نیاز مانند دامنه جذب وسیع، تزریق گسترده الکترون و پایداری می‌باشد ولی شامل یک فلز سنتگین است که از نظر زیست محیطی ناخواسته می‌باشد. همچنین فرایند ترکیب این کمپلکس‌ها بسیار پیچیده و پرخرج است [۲۰ - ۲۳]. از این رو علاقه زیادی به استفاده از رنگ‌دانه‌های طبیعی وجود دارد که به‌آسانی و با کمترین روش‌های شیمیایی، از میوه‌ها، گیاهان و گل‌ها عصاره گیری می‌شود [۲۴]. از برتری‌های دیگر استفاده از رنگ‌دانه‌های طبیعی، در دسترس پذیر بودن آن‌ها و قیمت ارزان آن‌ها می‌باشد، همچنین سلول‌های ساخته شده بر پایه آن‌ها، دارای بازده قابل پذیرش می‌باشند [۲۶ - ۲۸]. هر مولکول رنگی افزوده شده به شبکه  $\text{TiO}_2$  به صورت یک لایه تک‌مولکولی بر روی ساختار نانو بلوری شکل خواهد گرفت. زمانی که نور فرودی به شبکه  $\text{TiO}_2$  حساس شده با رنگ برخورد می‌کند، موجب تحریک الکترون‌های موجود در رنگ می‌شود. سپس الکترون‌های تحریک شده، به تندی به واسطه فرایند معروف به تزریق الکترون، به نوار رسانش اکسید نیم‌رسانا تزریق می‌شوند و سبب می‌شوند که اکسید نیم‌رسانا بتواند طیف نور در ناحیه مرئی را جذب کند. معادله‌های (۱) و (۲) فرایند تحریک الکترون موجود در رنگ و تزریق آن به نوار رسانش  $\text{TiO}_2$  را نشان می‌دهند.



در این پژوهش مولکول رنگی سیاندین به عنوان ماده اولیه برای حساس کننده نوری رنگی، در نظر گرفته شد. این به دلیل ساختار ساده، پالایش ساده آن نسبت به دیگر رنگ‌دانه‌های طبیعی می‌باشد. از دیگر ویژگی‌های مفید آن جذب عالی نور مرئی در بازه‌ی ۵۲۰ nm می‌باشد [۲۹]. به منظور بررسی فرایند حساس‌سازی لایه‌های نانوساختار  $\text{TiO}_2$ ، این لایه‌ها به روش لایه‌نشانی غوطه‌وری سل - ژل،

(۱) Ruthenium

نمایش گرهای الکتروکرومیکی [۹]، موج‌برهای صفحه‌ای برخوردار است [۱۰]. امروزه لایه‌های نازک  $\text{TiO}_2$  از پتانسیل خوبی در ساخت سلول‌های خورشیدی حساس شده با رنگ برخوردارند [۱۱، ۱۲]. این سلول‌های خورشیدی که به گروه سلول‌های خورشیدی لایه‌نازک تعلق دارند، بر مبنای یک نیم‌رسانا و رنگ جاذب نور مرئی شکل گرفته‌اند و به همراه یک فوتواتکتروشیمیایی را تشکیل می‌دهند، که نور مرئی را به الکترولیت تبدیل می‌کند [۱۳]. حساس‌سازی مواد نیم‌رسانی اکسیدی با نوار انرژی عریض به وسیله حس‌گرهایی نوری مانند رنگ آلی که می‌توانند نور مرئی را جذب کنند، در اواسط قرن نوزدهم به طور گسترده‌ای مورد مطالعه قرار گرفت. گریسچر و تیبوش یک الکترود نوری  $\text{ZnO}$  حساس شده با رنگ‌های آلی شامل رزبنگال، فلورسن و رو دامین می‌را مورد مطالعه قرار دادند [۱۴، ۱۵]. اما از آنجایی که الکترود نوری استفاده شده نمی‌توانست مقدار زیادی رنگ را جذب کند و این رنگ‌های آلی نیز دامنه جذب محدودی در ناحیه مرئی داشتند، از این‌رو بازده جذب نور در این الکترود نوری پایین بود [۱۶]. به منظور بهبود بازده جذب نور، دو روش توسط پژوهشگران این رشته به کار گرفته می‌شود. ابتدا توسعه فوتواتکترودهایی با مساحت سطح بزرگ‌تر که بتوانند مقدار بیشتری رنگ جذب کند و دیگری ساخت سلول‌های خورشیدی بر پایه  $\text{TiO}_2$  حساس شده به رنگ، نخستین بار توسط گرتزل و همکاران مورد توجه قرار گرفت [۱۷]. بعداً نیز پیشرفت‌های مهمی در ساخت این سلول‌ها به دست آمد [۱۸]. آن‌ها با استفاده از الکترودهای لایه‌نازک  $\text{TiO}_2$  نانو متخلخل که به مقدار زیادی فوتواتکتروسنس‌کننده رنگی را جذب می‌کنند و همچنین ساخت حساس کننده نور رنگی  $\text{Ru}^{(1)}$  که ظرفیت جذب نور مرئی و فروسرخ از ۴۰۰ nm تا ۹۰۰ nm را دارد، به بازده تبدیل انرژی خورشیدی ۷ تا ۱۰٪ رسیدند در ساخت این سلول‌ها، از ساختارهای نانوبلوری  $\text{TiO}_2$  به قطر ۱۰۰ nm - ۵۰ nm به عنوان یک شبکه حساس شده با رنگ استفاده شده است. زیرا  $\text{TiO}_2$  به دلیل داشتن شکاف نوار انرژی پهن، فقط در تابش ناحیه نور فرابنفش که درصد کمی از تابش مؤثر نور خورشید می‌باشد، می‌تواند فرایندهای اکسایشی - کاهشی فوتواتکتروشیمیایی را انجام دهد. در نتیجه یک روش مؤثر برای رفع این عیب، لنگر کردن رنگینه‌ها، روی نیم‌رسانا می‌باشد. حساس‌کننده‌های مولکولی پیوست شده

مغناطیسی و استیر (Hot Plate) مدل (100-Genway) همزدہ شد، تا محلول پیش‌ماده اولیه به دست آید. سپس  $26\text{ mL}$  آب مقطر و  $24\text{ mL}$  استیک اسید (مرک، ۹۹٪) و  $5\text{ mL}$  اتانول مخلوط شد و به محلول پیش‌ماده اولیه به صورت قطره قطره و با سرعت یک قطره در هر ثانیه و در شرایط هم‌زدن مغناطیسی افزوده شد. سرانجام به مدت ۱ ساعت با هم‌زن مغناطیسی خوب هم‌زده شد. به‌این ترتیب سل شفاف  $TiO_2$  به دست آمد. در این محلول اتانول به عنوان حلال و استیک اسید به عنوان پایدارساز برای جلوگیری از چسبیدن ذره‌ها به یکدیگر می‌باشد. باید توجه شود که در زمان لایه‌نشانی نیز محلول باید شفاف و یکنواخت بماند و رسوی نکند در غیر این صورت دانه‌ها به طور یکنواخت کنار یکدیگر قرار نمی‌گیرند و لایه یکنواختی روی زیرلایه تشکیل نمی‌شود.

#### فرایند لایه‌نشانی

برای لایه‌نشانی از فناوری غوطه‌وری با دستگاه غوطه‌وری استفاده شد.

به‌این ترتیب که زیرلایه شیشه‌ای تمیزشده با سرعت ثابت و مورد نظر در داخل ظرف دارای سل فروبرده شد و به مدت ۱۰ دقیقه در سل نگه داشته شد، سپس با همان سرعت خارج شد. به‌منظور خشک کردن نمونه‌ها، آن‌ها به مدت ۴۵ دقیقه در آون در دمای  $100^\circ\text{C}$  قرار گرفت. این مراحل برای رسیدن به لایه یکنواخت و با ضخامت دلخواه (۲۲-۲۳ لایه و یا بیشتر) تکرار شد.

#### عملیات گرمایی

در این مرحله نمونه‌های تهیه شده به کوره (کوره‌ی الکتریکی Thermal Lenton، مدل ۱۱۰۰) با بیشترین دمای  $500^\circ\text{C}$  (Defigns) منتقل شده و به مدت ۲ ساعت در دمای  $500^\circ\text{C}$  در عملیات گرمایی قرار گرفتند، زیرا حذف همه پسماندهای آلی در دمای کمتر از  $500^\circ\text{C}$  امکان پذیر نمی‌باشد.<sup>[۲۹]</sup> همچنین در این پژوهش به دلایلی که در بخش‌های بعدی به آن پرداخته خواهد شد، فاز آناتاز  $TiO_2$  مورد نظر بود و این فاز در دمای  $500^\circ\text{C}$  غالب است و با افزایش دمای پخت فاز آناتاز به روتیل تغییر شکل می‌دهد.<sup>[۳۰]</sup>.

سرانجام از رنگدانه‌های سیانیدین موجود در توت‌سیاه برای حساس‌سازی لایه‌های نانوساختار  $TiO_2$  استفاده شد، به‌این ترتیب که ابتدا میوه تازه توت‌سیاه در یک ظرف به خوبی له شده و لایه نانوساختار  $TiO_2$  درون ظرف دارای عصاره توت‌های له شده

برروی زیرلایه شیشه شدنده و به مدت یک شبانه روز درون عصاره توت خیسانده شدند، به‌این ترتیب مولکولهای رنگی سیانیدین موجود در توت‌سیاه به سطح  $TiO_2$  پیوست شده و همان‌گونه که شرح داده شد، سبب می‌شوند که لایه‌های نانوساختار  $TiO_2$  بتوانند پرتو نور را در ناحیه مرئی جذب کنند. به‌منظور بررسی ساختار بلوری و فازی این لایه‌ها و ریخت‌شناسی سطحی آن‌ها، از دستگاه‌های XRD و FE-SEM استفاده شد. سرانجام برهم‌کنش FT-IR بین نیم‌رسانا و رنگ به‌وسیله پرتوسنجی UV-Vis و مورد مطالعه قرار گرفت.

#### بخش تجربی آماده‌سازی زیرلایه

تمیزبودن زیرلایه، کیفیت لایه را تعیین می‌کند و همچنین گرد و غبار و چربی نشسته روی زیرلایه باعث غیریکنواختی لایه شکل شده می‌شود، از این‌رو اولین شرط اساسی در این روش تمیز بودن زیرلایه می‌باشد. در این پژوهش از شیشه (لامل معمولی به‌دلیل قیمت تمام شده پایین برای فراورده‌ی پایانی) به عنوان زیرلایه استفاده شده است. به‌منظور تمیزکردن زیرلایه، پس از شستشوی آن‌ها به‌وسیله آب و ماده‌شونینده، آن‌ها برای مدتی در محلول شامل آب، اتانول (۹۶٪) و ماده‌شونینده، با نسبت حجمی تقریبی  $1:10:100$ ، قرار داده شدند. سپس زیرلایه‌ها، در آب گرم حمام فراصوت (دستگاه اولتراسونیک مدل H Up<sup>200</sup>) ساخت شرکت Hielscher (حدود  $50^\circ\text{C}$ ) به مدت ۲۰ ثانیه مورد عملیات جداسازی ناخالصی با استفاده از امواج صوتی قرار گرفت، همچنین برای خشک کردن آن‌ها از آون (آون الکتریکی با بیشترین دمای کارکرد  $250^\circ\text{C}$  مدل Heraeus) استفاده شد. دوباره زیرلایه‌ها خشک شده برای  $20^\circ\text{C}$  با استون (۹۶٪) و همچنین با اتانول، مورد عملیات جداسازی ناخالصی با استفاده از امواج صوتی قرار گرفتند و این چرخه شستشو چندین مرتبه تکرار شد، تا زیر لایه‌ها به طور کامل تمیز شود.

#### تهیه سل

در این پژوهش، از تیتانیوم ایزوپروپکساید (مرک، ۹۹٪،  $Ti[OCH(CH_3)_2]_4$ ) برای آماده‌سازی سل شفاف  $TiO_2$  در دمای  $423\text{ mL}$  اتانول استفاده شد. به‌این ترتیب که ابتدا  $20\text{ mL}$  تیتانیوم ایزوپروپکساید به  $423\text{ mL}$  اتانول (مرک، ۹۹٪) افزوده شد و به مدت ۳۰ دقیقه در دمای اتانول توسط هم‌زن مغناطیسی (مگنت

سل  $\text{TiO}_2$  پس از ژل شدن به مدت ۲ ساعت در دمای  $500^\circ\text{C}$  در عملیات گرمایی قرار گرفت تا نانوپودر  $\text{TiO}_2$  به دست آید. شکل ۱ الگوی پراش نانوپودر  $\text{TiO}_2$  را نشان می‌دهد که با کارت استاندارد شماره ۱۴۷۲-۰۰-۰۲۱ مربوط به فاز آناتاز  $\text{TiO}_2$  به خوبی مطابقت دارد [۳۲] و دیده می‌شود که در فاز آناتاز می‌باشد.

همچنین هیچ‌گونه قله یا فاز دیگری دیده نمی‌شود.

با استفاده از معادله دبای - شرر می‌توان اندازه ریزبلورک‌های کوچک‌تر از  $1\mu\text{m}$  تعیین کرد [۳۳].

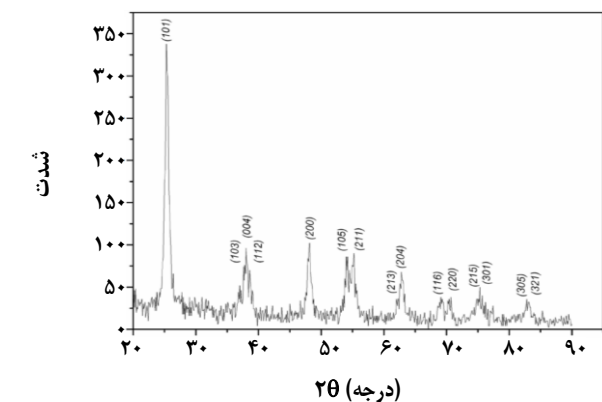
$$D = \frac{\beta \lambda}{\beta \cos \theta} \quad (3)$$

که در این معادله  $\lambda$  طول موج پرتو ایکس به کار گرفته شده،  $\theta$  زاویه‌ای که در آن شدت بیشینه است و  $\beta$  پهنه‌ای قله پراش (برحسب رادیان) در نصف شدت بیشینه (FWHM) آن است. با توجه به معادله دبای - شرر و اطلاعات به دست آمده از پرتو XRD اندازه ریزبلورک‌ها  $13\text{ nm}$  می‌باشد که در جدول ۱ ارایه شده است. اندازه میانگین ذرات، تخمین زده شده با استفاده از دستگاه SEM  $36\text{ nm}$  تعیین شد. که تأیید کننده اندازه ریزبلورک‌های محاسبه شده از معادله شرر می‌باشد. زیرا هر دانه از یک یا چند ریزبلورک تشکیل شده است.

مطالعه پرتو جذبی FT-IR زیروژل تهیه شده به منظور شناسایی و بررسی گروه‌های عاملی و نوع پیوند در مولکول‌ها، لازم است. شکل ۲ پرتو FT-IR مربوط به زیروژل  $\text{TiO}_2$  و همچنین زیروژل  $\text{TiO}_2$  حساس شده با رنگدانه‌های سیانیدین می‌باشد، که هر دو ویژگی‌های پیوندهای  $\text{TiO}_2$  را تأیید می‌کنند. جذب‌هایی در باره  $550-655\text{ nm}^{-1}$  منسوب به ارتعاش‌های کششی  $\text{TiO}_2$  می‌باشد [۳۴]. جذب‌های موجود در منطقه‌های  $1030\text{ cm}^{-1}$ ،  $1425\text{ cm}^{-1}$  و  $1542\text{ cm}^{-1}$  در زیروژل  $\text{TiO}_2$  مربوط به ارتعاش‌های کششی گروه  $\text{Ti-O-Ti}$  می‌باشد [۳۵-۳۷]. جذب در  $1425\text{ cm}^{-1}$  که در زیروژل  $\text{TiO}_2$  دیده شده است به  $1445\text{ cm}^{-1}$  در پرتو زیروژل  $\text{TiO}_2$  - سیانیدین انتقال پیدا کرده است [۳۴]. جذب در  $755\text{ cm}^{-1}$  در طیف جذبی زیروژل  $\text{TiO}_2$  که به ارتعاش‌های سطحی  $\text{O-Ti-O}$  نسبت داده می‌شود، برای زیروژل  $\text{TiO}_2$  - سیانیدین به  $790\text{ cm}^{-1}$  انتقال پیدا کرده است [۳۵-۳۷]. که تأیید کننده برهمنکنش بین نیمرسانا و رنگ می‌باشد. جذب در  $3745\text{ cm}^{-1}$  در پرتو زیروژل  $\text{TiO}_2$  - سیانیدین به ارتعاش‌های کششی گروه OH ناشی از گروه‌های گلوکوزید و فولیک می‌باشد، که تأیید کننده حضور رنگ در این ماده هستند [۳۵].

جدول ۱- اندازه ریزبلورک‌های محاسبه شده با استفاده از معادله دبای - شرر.

$2\theta(^{\circ})$	FWHM	(hkl)	D(nm)
۲۵,۴۲۹۲	۰,۶۱۰۰	(۱۰۱)	۱۳,۳۸



شکل ۱- الگوی پرتو X نانو پودر  $\text{TiO}_2$  پس از بازپخت در دمای  $500^\circ\text{C}$ .

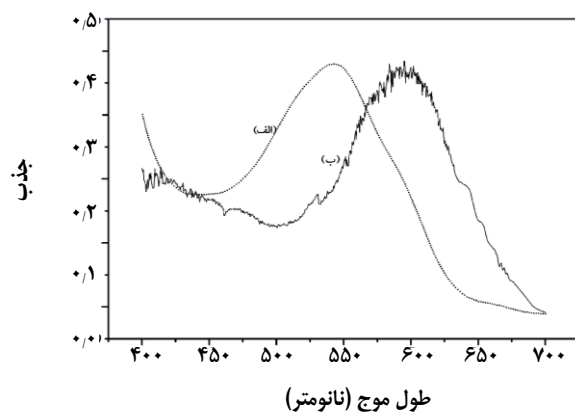
به مدت یک شباهه روز خیسانده شد، به این ترتیب مولکول‌های رنگی توت‌سیاه به سطح  $\text{TiO}_2$  پیوست شدند.

نکته چشمگیر در اینجا این است که  $\text{TiO}_2$  یک نیمرسانای سفید رنگ است که نمی‌تواند نور مرئی را جذب کند، ولی پس از خیساندن در عصاره توت‌سیاه به علت پیوست شدن مولکول‌های رنگی سیانیدین به آن به تقریب قرمز می‌شود.

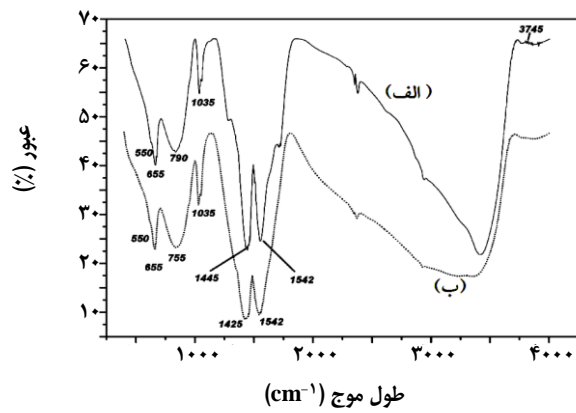
در پایان، برای مطالعه ریزساختاری لایه‌های نانوساختار  $\text{TiO}_2$  از دستگاه‌های الگوی پراش پرتو ایکس (مدل X-Pert) ساخت شرکت Philips و مدل Seifert ۳۰۰-۳ (Dستگاه میکروسکوپ الکترونیکی روبشی (SEM)، مدل S416۰ Sاخت شرکت Hitachi) استفاده شد. همچنین با استفاده از دستگاه‌های پرتو سنجی UV-Vis (مدل Varian-Cary ۵۰۰ Scan) و Perkin Elmer BX(II) (مدل FT-IR) حساس‌سازی این لایه‌ها با استفاده از توت‌سیاه مطالعه شد.

## نتیجه‌ها و بحث

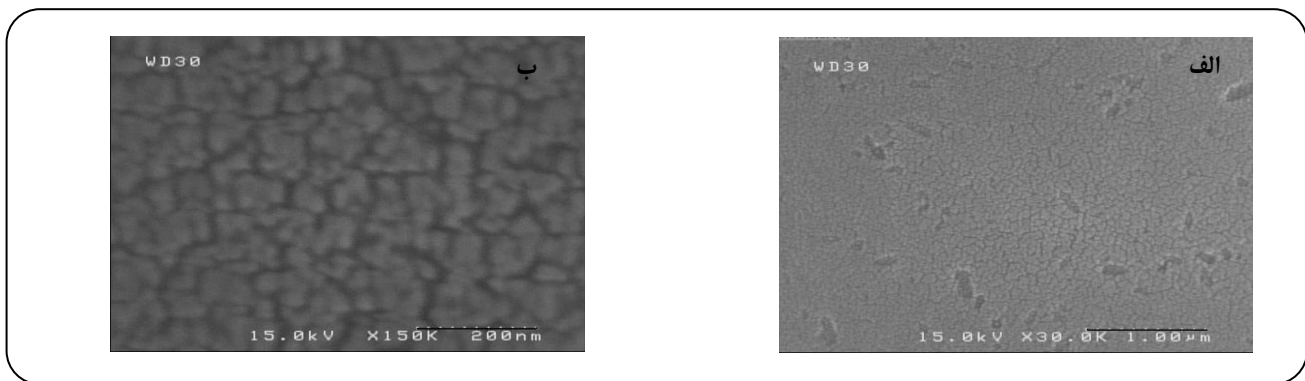
به منظور بررسی ساختار بلوری و فازی این لایه‌ها از دستگاه‌های XRD استفاده شد. از آنجایی که اندازه‌گیری XRD از نمونه‌های پودری ساده‌تر و امکان پذیرتر می‌باشد [۳۱]؛



شکل ۳- پرتو جذبی UV-Vis، (الف): محلول اتانول سیانیدین، (ب): لایه نانوساختار  $TiO_2$  حساس شده با استفاده از رنگدانه‌های سیانیدین موجود در توت‌سیاه.



شکل ۲- پرتو FT-IR الف: مربوط به  $ZnO-TiO_2$ ، ب: زیروزل  $TiO_2$  حساس شده با رنگدانه‌های سیانیدین.



شکل ۴- تصاویر SEM لایه‌های  $TiO_2$ ، الف: با مقیاس  $1\mu m$ ، ب: با مقیاس  $200 nm$ .

لایه‌های نانوساختار  $TiO_2$  حساس شده با سیانیدین، با استفاده از پرتو UV می‌توان از معادله (۴) استفاده کرد [۳۱]:

$$E = h\nu = \frac{hc}{\lambda} \quad (4)$$

که در آن  $h$  ثابت پلانک و مقدار آن  $6.62 \times 10^{-34}$   $J$  می‌باشد. بر اساس طول موج بیشینه جذب  $\lambda = 595 nm$ ، مقدار نوار انرژی محاسبه شده برای لایه‌های نانوساختار  $TiO_2$  حساس شده با رنگ  $E = 2.1 eV$  می‌باشد، در حالی که، انرژی شکاف نواری فاز آناتاز  $Ti_2O_3$   $\lambda = 388 nm$  می‌باشد [۳۸]. که بیانگر این است که حساس‌سازی لایه‌های نانوساختار  $TiO_2$  با رنگدانه‌های سیانیدین باعث کاهش نوار انرژی  $TiO_2$  شده است.

شکل ۳ پرتو جذبی محلول اتانول سیانیدین و همچنین پرتو جذبی لایه نانوساختار جامد شده  $TiO_2$  حساس شده با استفاده از رنگدانه‌های سیانیدین را نشان می‌دهد. همان‌گونه که دیده می‌شود محلول اتانول سیانیدین بیشینه جذب را در طول موج  $545 nm$  نمایش می‌دهد، در حالی که لایه نانوساختار  $TiO_2$  حساس شده با سیانیدین دارای بیشینه جذب در طول موج  $595 nm$  می‌باشد. این موضوع تأیید کننده برهم‌کنش بین نیمرسانا و رنگ می‌باشد، به عبارت دیگر حساس‌کننده‌های مولکولی رنگ (سیانیدین) به سطح  $TiO_2$  پیوست شده و زمانی که نور به شبکه  $TiO_2$  حساس شده با رنگ برخورد می‌کند، موجب تحریک الکترون‌های موجود در رنگ می‌شود؛ سپس الکترون‌های تحریک شده به تندی به نوار رسانش  $TiO_2$  تزریق شده و سبب می‌شوند لایه نانوساختار  $TiO_2$  نور را در ناحیه مرئی جذب کند. برای محاسبه نوار انرژی

SEM نشان دهنده سطحی صاف و یکدست در لایه‌ها می‌باشد، همچنین در همه موارد نانوساختار بودن لایه‌ها تأیید شده است. نتیجه‌های به دست آمده از پرتو IR مؤید پیوندهای  $\text{TiO}_2$  در زیروژل -  $\text{TiO}_2$  - سیانیدین می‌باشد همچنین حضور رنگ در ساختار را تأیید می‌کند. با توجه به پرتو جذبی UV-Vis  $\text{UV-Vis}$  دیده می‌شود که بیشینه جذب در لایه‌های حساس شده با سیانیدین به طول موج ۵۹۵ nm افزایش یافته است، که تأیید کننده برهمکنش بین نیم رسانا و رنگ می‌باشد. نتیجه‌ها نشان داد که وجود رنگ در لایه نهایی توانایی جذب را به طور چشمگیری افزایش داده است.

تاریخ دریافت: ۱۳۹۴/۷/۲۱؛ تاریخ پذیرش: ۱۳۹۴/۱۰/۲۱

شکل ۴ (الف و ب) تصویرهای SEM، لایه‌های  $\text{TiO}_2$  را نشان می‌دهد. همان‌گونه که دیده می‌شود، سطح لایه در تمام نمونه‌ها سطحی صاف و یکدست است و دانه‌ها به طور یکنواخت کنار هم قرار گرفته‌اند. اندازه میانگین ذره‌ها nm ۳۶ تخمین زده شده‌اند.

### نتیجه گیری

در این پژوهش لایه‌های نانوساختار  $\text{TiO}_2$  بر روی زیرلایه شیشه به روش لایه‌نشانی غوطه‌وری سل - ژل تهیه شدند. پس از ساخت این لایه‌ها به حساس‌سازی آن‌ها با استفاده از رنگدانه‌های سیانیدین موجود در توت‌سیاه پرداخته شد. نتیجه‌های الگوی پراش پرتو ایکس حاکی از تشکیل فاز آناتاز  $\text{TiO}_2$  می‌باشد. تصویرهای

### مراجع

- [۱] Hsu J.P., Nacu A., *On the Factors Influencing the Preparation of Nanosized Titania Sols*, *Langmuir*, ۱۹(۱۰): ۴۴۴۸-۴۴۵۴ (۲۰۰۳).
- [۲] Irie H., Watanabe Y., Kazuhito Hashimoto K., *Carbon-Doped Anatase  $\text{TiO}_2$  Powders as a Visible-Light Sensitive Photocatalyst*, *Chemistry Letters*, ۲۲(۸): ۷۷۲-۷۷۳ (۲۰۰۳).
- [۳] Nezameddin D., Salari D., Behnasuady M.A., *Decomposition of Anionic Sodium Dodecylnemzene Sulfonate by UV/ $\text{TiO}_2$  and UV/H<sub>2</sub>O<sub>2</sub> Processes a-Comparison of Reaction Rates*, *Iranian Journal of Chemistry and Chemical Engineering (IJCCE)*, ۲۱(۱): ۵۵-۶۵ (۲۰۰۲).
- [۴] Linsebigler A.L., Lu G., Yates J.T., *Photo Catalysis on  $\text{TiO}_2$  Surfaces: Principles, Mechanisms, and Selected Results*, *Chemical Reviews*, ۹۰(۳): ۷۳۵-۷۵۸ (۱۹۹۰).
- [۵] Gupta S.M., Tripathi M., *A Review of  $\text{TiO}_2$  Nanoparticles*, *Chinese Science Bulletin*, ۵۶(۱۶): ۱۶۳۹-۱۶۵۷ (۲۰۱۱).
- [۶] Fitra M., Nair G., Irwanto M., Yusoff M.I., Mariun N., *Performance Evaluation of Dye Sensitized Solar Cell for Varying  $\text{TiO}_2$  Thicknesses*, *In Applied Mechanics and Materials*, ۶۹۹: ۵۴۰-۵۴۵ (۲۰۱۵).
- [۷] Nam J.E., Jo H.J., Son D.H., Kim D.H., Kang J.K., *Effect of Anti-Reflective Layer in Dye-Sensitized Solar Cells*, *Applied Mechanics and Materials*, ۷۰۵: ۳۲۰-۳۲۳ (۲۰۱۰).
- [۸] Georgieva V., Gadjanova V., Grechnikov A., Donkov N., Sendova-Vassileva M., Stefanov P., Kirilov R., *Sol-Gel  $\text{TiO}_2$  Films as NO<sub>x</sub> Gas Sensors*, *Journal of Physics: Conference Series*, ۵۱۴(۱): ۰۱۲۰۲۰ (۲۰۱۴).
- [۹] Weng W., Higuchi T., Suzuki M., Fukuoka T., Shimomura T., Ono M., Radhakrishnan L., Wang H., Suzuki N., Oveisi H., Yamauchi Y., *A High-Speed Passive-Matrix Electrochromic Display Using a Mesoporous  $\text{TiO}_2$  Electrode with Vertical Porosity*, *Angewandte Chemie*, ۱۲۲(۲۳): ۴۰۴۸-۴۰۵۱ (۲۰۱۰).

- [۱۰] Chen W., Tao X., Zhang J., Fang Q., Yang J., Sol-Gel-Processed SiO<sub>x</sub>/TiO<sub>x</sub>/ Methylcellulose Composite Materials for Optical Waveguides, *Journal of the American Ceramic Society*, ۸۸(۱۱): ۲۹۹۸-۳۰۰۲ (۲۰۰۵).
- [۱۱] Lee T.Y., Kim H.S., Park N.G., Evaluation of Limiting Factors Affecting Photovoltaic Performance of Low-Temperature- Processed TiO<sub>x</sub> Films in Dye-Sensitized Solar Cells, *Chem. Phys. Chem.*, ۱۵(۶): ۱۰۹۸-۱۱۰۰ (۲۰۱۴).
- [۱۲] Nazeeruddin M.K., Pechy P., Renouard T., Zakeeruddin S.M., Humphry-Baker R., Comte P., Liska P., Cevey L., Costa E., Shklover V., Spiccia L., Engineering of Efficient Panchromatic Sensitizers for Nanocrystalline TiO<sub>x</sub>-Based Solar Cells, *Journal of the American Chemical Society*, ۱۲۴(۸): ۱۶۱۲-۱۶۲۴ (۲۰۰۱).
- [۱۳] Aberle A.G., Thin-Film Solar Cells, *Thin Solid Films*, ۵۱۷(۱۷): ۴۷۰۶-۴۷۱۰ (۲۰۰۹).
- [۱۴] Tributsch H., Gerischer H., The Use of Semiconductor Electrodes in the Study of Photochemical Reactions, *Berichte der Bunsengesellschaft für physikalische Chemie*, ۷۳(۸-۹): ۸۵۰-۸۵۴ (۱۹۶۹).
- [۱۵] Spitzer M., Lübke M., Gerischer H., The Role of Triplet States in Dye Sensitization of ZnO Electrodes, *Chemical Physics Letters*, ۵۶(۳): ۵۷۷-۵۸۱ (۱۹۷۸).
- [۱۶] Ramamurthy V., Schanze K.S. (Eds.), "Semiconductor Photochemistry And Photophysics", Vol. (۱۰), CRC Press, New York (۲۰۰۳).
- [۱۷] O'regan B., Grätzel M., A Low-Cost, High-Efficiency Solar Cell Based on Dye-Sensitized Colloidal TiO<sub>x</sub> Films, *Nature*, ۳۵۳(۶۳۴۶): ۷۳۷-۷۴۰ (۱۹۹۱).
- [۱۸] Falaras P., Hugot-Le Goff A., Bernard M.C., Xagas A., Characterization by Resonance Raman Spectroscopy of Sol-Gel TiO<sub>x</sub> Films Sensitized by the Ru (PPh<sub>۳</sub>)<sub>۲</sub> (dcbipy) Cl<sub>2</sub> Complex for Solar Cells Application, *Solar Energy Materials and Solar Cells*, ۶۴(۲): ۱۶۷-۱۸۴ (۲۰۰۰).
- [۱۹] De Angelis F., Fantacci S., Selloni A., Nazeeruddin M.K., Grätze, M., First-Principles Modeling of the Adsorption Geometry and Electronic Structure of Ru (II) Dyes on Extended TiO<sub>x</sub> Substrates for Dye-Sensitized Solar Cell Applications, *The Journal of Physical Chemistry C*, ۱۱۴(۱۳): ۶۰۵۴-۶۰۶۱ (۲۰۱۰).
- [۲۰] Gerfin, T., Grätzel, M. and Walder, L., Molecular and Supramolecular Surface Modification of Nanocrystalline TiO<sub>x</sub> Films: Charge-Separating and Charge-Injecting Devices. Progress in Inorganic Chemistry, *Molecular Level Artificial Photosynthetic Materials*, ۴۴, ۳۴۰-۳۹۳ (۱۹۹۷).
- [۲۱] Niyama E., de Alencar A.C., da Vila L.D., Stucchi E.B., Davolos M.R., Filmes Delgados Luminescentes Obtidos a Partir de Hidroxcarbonatos de ítrio Ativados Por európio ou Térbio, *Química Nova*, ۲۷(۲): ۱۸۳-۱۸۷ (۲۰۰۰).
- [۲۲] Nozik A.J., Quantum Dot Solar Cells, *Physica E: Low-dimensional Systems and Nanostructures*, ۱۴(۱): ۱۱۰-۱۲۰ (۲۰۰۲).

- [۲۳] Cherepy N.J., Smestad G.P., Grätzel M., Zhang J.Z., Ultrafast Electron Injection: Implications for a Photoelectrochemical Cell Utilizing an Anthocyanin Dye-Sensitized  $TiO_2$  Nanocrystalline Electrode, *The Journal of Physical Chemistry B*, ۱۰۱(۴۵):۹۳۴۲-۹۳۵۱ (۱۹۹۷).
- [۲۴] Tennakone K., Kumarasinghe A.R., Kumara G.R.R.A., Wijayantha K.G.U., Sirimanne P.M., Nanoporous  $TiO_2$  Photoanode Sensitized with the Flower Pigment Cyanidin, *Journal of Photochemistry and Photobiology A: Chemistry*, ۱۰۸(۲): ۱۹۳-۱۹۵ (۱۹۹۷).
- [۲۵] Agnaldo J.S., Bastos J.B.V., Cressoni J.C., Viswanathan G.M.,  $TiO_2$  Dye Sensitized Solar Cells, *Revista Brasileira de Ensino de Física*, ۲۸(۱):۷۷-۸۴ (۲۰۰۶).
- [۲۶] Smestad G.P., Gratzel M., Demonstrating Electron Transfer and Nanotechnology: A Natural Dye-Sensitized Nanocrystalline Energy Converter, *Journal of Chemical Education*, ۷۰(۶): ۷۰۲-۷۰۶ (۱۹۹۸).
- [۲۷] Hinsch A., Kroon J.M., Kern R., Uhlendorf I., Holzbock J., Meyer A., Ferber J., Long-Term Stability of Dye-Sensitised Solar Cells, *Progress in Photovoltaics: Research and Applications*, ۹(۶): ۴۲۰-۴۳۸ (۲۰۰۱).
- [۲۸] Malacrida C.R., Mottas S.D., Antocianinas Em Suco de Uva: Composição e Estabilidade, *Bol. Centro Pesqui. Process. Aliment.*, ۲۴(۱): ۵۹-۸۲ (۲۰۰۶).
- [۲۹] Meng S., Ren J., Kaxiras E., Natural Dyes Adsorbed on  $TiO_2$  Nanowire for Photovoltaic Applications: Enhanced Light Absorption and Ultrafast Electron Injection, *Nano letters*, ۸(۱۰): ۳۲۶۶-۳۲۷۲ (۲۰۰۸).
- [۳۰] Ergun O., Karslioglu O., Yilmaz A., Uner D., Preparation and Characterization of Ordered  $TiO_2$  Photocatalysts: Films and Mesoporous Structures, *Turkish Journal of Chemistry*, ۳۱(۵): ۵۰۱-۵۰۸ (۲۰۰۷).
- [۳۱] Gouma P.I., Mills M.J., Anatase-to-Rutile Transformation in Titania Powders, *Journal of the American Ceramic Society*, ۸۴(۳): ۶۱۹-۶۲۲ (۲۰۰۱).
- [۳۲] Wang, P.Q., Yang B., Jian-Y., Zhou F., and Ya-Q.H., One-pot Synthesis of Rutile  $TiO_2$  Nanoparticle Modified Anatase  $TiO_2$  Nanorods Toward Enhanced Photocatalytic Reduction of CO<sub>2</sub> Into Hydrocarbon Fuels, *Catalysis Communications*, ۲۹: ۱۸۵-۱۸۸ (۲۰۱۲).
- [۳۳] Bose A.C., Thangadurai P., Ramasamy S., Grain Size Dependent Electrical Studies on Nanocrystalline  $SnO_2$ , *Materials Chemistry and Physics*, ۹۰(۱): ۷۲-۷۸ (۲۰۰۷).
- [۳۴] Jiles D., "Introduction to Magnetism and Magnetic Materials", Chapman & Hall, (۱۹۹۰).
- [۳۵] González M.B., Wu A., Vilarinho P.M., Influence of Solvents on the Microstructure and Dielectric Properties of Ba<sub>x</sub>Sr<sub>1-x</sub> $TiO_2$  Thin Films Prepared by a Diol-Based Sol-Gel Process, *Chemistry of Materials*, ۱۸(۲۷): ۱۷۳۷-۱۷۴۴ (۲۰۰۶).
- [۳۶] Kontos A.I., Arabatzis I.M., Tsoukleris D.S., Kontos A.G., Bernard M.C., Petrakis D.E., Falaras P., Efficient Photocatalysts by Hydrothermal Treatment of  $TiO_2$ , *Catalysis Today*, ۱۰۱(۳): ۲۷۵-۲۸۱ (۲۰۰۵).

- [۳۷] Maira A.J., Coronado J.M., Augugliaro V., Yeung K.L., Conesa J.C., Soria J., Fourier Transform Infrared Study of the Performance of Nanostructured  $\text{TiO}_x$  Particles for the Photocatalytic Oxidation of Gaseous Toluene, *Journal of Catalysis*, ۲۰۲(۲): ۴۱۳-۴۲۰ (۲۰۰۱).
- [۳۸] Barka N., Qourzal S., Assabbane A., Nounah A., Ait-Ichou Y., Factors Influencing the Photocatalytic Degradation of Rhodamine B by  $\text{TiO}_x$ -Coated Non-Woven Paper, *Journal of Photochemistry and Photobiology A: Chemistry*, ۱۹۵(۲): ۳۴۶-۳۵۱ (۲۰۰۸).